

## مطالعه خصوصیات فیزیکی و روند آزادسازی تئوفیلین از پلتهای تهیه شده به روش روکش دهی در دیگ دوار

دکتر نوشین بلورچیان<sup>۱</sup>، دکتر رضا ابوفاضلی<sup>۲</sup>، دکتر الهام حسامی<sup>۳</sup>

تاریخ پذیرش ۸۱/۹/۴

**Title:** Study of physical properties and release profile of theophylline pellets prepared by pan coating method.

**Authors:** Bolourtchian N.<sup>1</sup>, Aboofazeli R.<sup>2</sup>, Hessami E.<sup>3</sup>

**Abstract:** In this study, theophylline sustained release pellets were prepared by pan coating method using different additives (including PVP, acacia, corn starch, avicel PH 101, dicalcium phosphate, sucrose and HPMC) and Eudragit RS 100 and RL 100. Wet granulation and pelletization techniques were used to prepare the initial cores. After determination of physical properties, the prepared particles were coated using Eudragit solutions. Based on the results of dissolution tests, although cores containing dicalcium phosphate, PVP additives and Eudragit RS 100 as the coating agent, did not show the desirable release pattern, but mixtures of pellets with different film thickness, Showed drug release profiles which were comparable with USP criteria.

**Key words:** Theophylline, Pellets, Pan Coating, Sustained Release.

۱- استادیار دانشکده داروسازی، دانشگاه علوم پزشکی شهید بهشتی.

۲- دانشیار دانشکده داروسازی، دانشگاه علوم پزشکی شهید بهشتی.

۳- Pharm.D.

## چکیده

در تحقیق حاضر، پلتهای آهسته رهش تئوفیلین به روش روکش دهی در دیگ دور (Pan Coating)، با استفاده از مواد جانبی (شامل PVP، آکاسیا، نشاسته ذرت، آویسل ۱۰۱ PH، دی کلسیم فسفات، ساکارز و HPMC) و دو نوع پلیمر اودرایزیت ۱۰۰ RS و ۱۰۰ RL تهیه گردید. بدین منظور روش های گرانولاسیون مرطوب و پلت سازی جهت تهیه هسته های اولیه بکار گرفته شد و هسته های بدست آمده، پس از تعیین خواص فیزیکی، با استفاده از محلول های اودرایزیت روکش داده شدند. بر اساس داده های حاصل از تعیین سرعت انحلال دارو از پلتهای تهیه شده، گرچه هسته های حاوی دی کلسیم فسفات و PVP بعنوان مواد جانبی و اودرایزیت ۱۰۰ RS به عنوان عامل روکش دهنده، نشان دهنده سرعت انحلالی مطابق با فارماکوپه نمی باشند، ولی مخلوطی از این دسته از پلتها با ضخامت روکش متفاوت، الگوی آزادسازی دقیقاً مطابق با فارماکوپه را نشان می دهد.

**گل واژه گان:** تئوفیلین، پلت، روکش دهی در دیگ دور، آهسته رهش.

هیدروکسی پروپیل سلولز به شکل قرص درآمده اند، بر اساس کینتیک درجه صفر می باشد (۴). همچنین استفاده از مقادیر متفاوت اودرایزیت های RL و RS به عنوان روکش ذرات دارو در ساخت میکروکپسولهای تئوفیلین، سبب دستیابی به الگوی آزادسازی مطلوب می گردد (۵).

با توجه به نتایج حاصل از مطالعات Chattaraj و همکارانش، استفاده از اودرایزیت ۱۰۰ RS جهت ساخت میکروکپسول تئوفیلین، سرعت رهش دارو را بخوبی کنترل نموده و غلظت ثابت پلاسمایی برای مدت زمان نسبتاً طولانی ایجاد می شود (۶).

Pan Coating یکی از روشهای متداول جهت ساخت پلتهای آهسته رهش می باشد (۷) که تا کنون به منظور تهیه میکروکپسول تئوفیلین کمتر مورد توجه قرار گرفته است. با توجه به مزایای این روش از جمله سهولت تعمیم اطلاعات آزمایشگاهی به مقیاس صنعتی، در تحقیق حاضر، از روش فوق جهت ساخت پلتهای آهسته رهش تئوفیلین با استفاده از اودرایزیت ۱۰۰ RS و ۱۰۰ RL استفاده گردید.

## مقدمه

تئوفیلین یکی از داروهای مؤثر در درمان آسم و بیماری انسدادی برگشت پذیر ریوی بوده و دارای محدوده درمانی باریک می باشد (۱). امروزه مصرف اشکال دارویی معمولی آن بدلیل جذب سریع دارو و بروز عوارض جانبی جدی در نتیجه غلظتهاست سرمی بالا، کاهش یافته است (۲).

لذا محققین تلاش نموده اند که به کمک طراحی فرمولاسیونهای با آزادسازی کنترل شده و آهسته، نوسانات غلظت سرمی دارو و عوارض حاصل از آن را به حداقل برسانند. فرآیند میکروانکپسولاسیون یکی از راههای دستیابی به ذرات ریز روکش داده شده از دارو با آزادسازی کنترل شده بوده و بسیار مورد توجه می باشد.

در تحقیقات انجام شده توسط Benita و Donbrow، آزادسازی تئوفیلین از میکروکپسولهای تهیه شده به روش کواسرواسیون با استفاده از اتیل سلولز، آهسته و بر اساس کینتیک درجه یک می باشد (۳). از طرفی نشان داده شده است که الگوی آزادسازی تئوفیلین از میکروکپسولهای با روکش اتیل سلولز که در حضور

روی آن اسپری شده و زمانیکه پودر شروع به آگلومراسیون نمود، سرعت چرخش پلتایزر به ۱۵rpm کاهش داده شد. در فواصل اسپری نمودن مایع گرانول کننده، از هوای گرم جهت خشک شدن ذرات استفاده گردید. لازم به ذکر است که در ساخت بعضی از نمونه های پلت، مواد چساند بصورت خشک و در بعضی دیگر بصورت محلول مایی به مخلوط پودری اضافه شدند.

### بررسی خصوصیات فیزیکی هسته های تهیه شده

توزيع اندازه ذرات: بدلیل توزیع اندازه ذرات متفاوت هسته های تهیه شده بروش ساخت پلت، بررسی محدوده اندازه ذرات آنها ضروری می باشد. بدین منظور از روش الک استفاده گردید. الک های مورد استفاده دارای اندازه منافذ ۲۹۷، ۵۰۰، ۱۱۹۰ و ۲۰۰۰ میکرومتر ( $\mu\text{m}$ ) می باشند.

تعیین میزان جریان پذیری: از روش غیر مستقیم تعیین زاویه سکون به روش سطح مورب (Tilting method) استفاده گردید (8). بدین ترتیب که هسته های با اندازه ذرات  $500\mu\text{m}$  تا  $1200\mu\text{m}$  (محدوده اندازه ذرات مورد استفاده در مراحل بعدی جهت روکش دهی) در محفظه ای با ابعاد  $3 \times 3 \times 4\text{ cm}$  قرار گرفت و زاویه ریزش ذرات از محفظه فوق با سطح افق تعیین و به عنوان زاویه سکون در نظر گرفته شد.

تعیین درصد فرسایش: ۵ گرم از هسته های با اندازه  $500-1200\mu\text{m}$  به همراه مقادیر مشابهی ساقمه شیشه ای با اندازه حدود  $3\text{ mm}$  درون محفظه فرسایش سنج (مدل TA، Erweka ساخت آلمان) با قطر ۸ inch قرار داده شد و پس از چرخش محفظه به مدت ۱۰ دقیقه با سرعت  $25\text{ rpm}$  درصد فرسایش پذیری ذرات محاسبه گردید (9 و 10).

### مواد و روش کار

مواد: پودر تئوفیلین بدون آب (با مش ۱۰۰)، ساخت کارخانه Boehringer Ingelheim Pharma (آلمان)، دی کلسیم فسفات، لاکتوز، آویسل ۱۰۱ PH، ساکاروز، نشاسته، آکاسیا، پلی وینیل پیرولیدون (PVP)، هیدروکسی پروپیل متیل سلولز (HPMC) و دی اتیل فتالات (DEP) ساخت شرکت Merck (آلمان)، اودرازیت های ۱۰۰ RS و ۱۰۰ RL (آلمان) Rohm Pharma (آلمان) و کلیه Merck (آلمان) بودند.

### ساخت هسته های اولیه

گرانولاسیون مرطوب: در این روش ماده مؤثره به تنها یی و یا بصورت مخلوط با آویسل ۱۰۱ PH یا لاکتوز به عنوان پرکننده به میزان ۴۵٪ وزن خشک مخلوط پودری، به تدریج با محلول چسباننده (PVP، آکاسیا یا نشاسته ذرت) تا زمان تشکیل توده مرطوب، مخلوط گردید. پس از عبور توده مرطوب حاصل از گرانولاتور نوسانی (مدل FGS، Erweka ساخت آلمان) دارای الک ۱۴ مش، گرانولها خشک شده و بدنال عبور از الک با مش ۱۶، مورد استفاده قرار گرفتند. لازم بذکر است که PVP، آکاسیا و نشاسته ذرت به ترتیب بصورت محلول مایی  $10\%(\text{w/v})$ ،  $10\%(\text{w/v})$  موسیلاژ مایی  $20\%(\text{w/v})$  و موسیلاژ مایی  $10\%(\text{w/v})$  بکار گرفته شدند.

تهیه پلت: در این روش ماده مؤثره به تنها یی و یا بصورت مخلوط با ماده پرکننده (آویسل ۱۰۱ PH یا دی کلسیم فسفات) و ماده چسباننده (PVP، ساکارز یا HPMC) از الک با اندازه منافذ ۵۰۰ میکرون (35 مش) عبور داده شد. مخلوط حاصل در پلتایزر (مدل UG، Erweka ساخت آلمان) با زاویه  $50^\circ$  و سرعت چرخش  $30\text{ rpm}$  قرار گرفته مایع گرانول کننده بر

روکش داده شده با استفاده از مقداری متفاوتی از محلول روکش 2 یا 3 مرحله روکش دهی شدند و در نتیجه پلتهایی با ضخامت روکش متفاوت تولید گردید. بدین ترتیب که هسته های WG1 طی دو مرحله با محلول روکش C1 و C2 (فرمولاسیون های F1، F2 و F'1، F'2)، پلتهای P3 طی دو مرحله با محلول C1 (فرمولاسیون های F3 و F'3)، پلتهای P7 طی یک مرحله با محلول C1 (فرمولاسیون F4) و پلتهای P8 طی سه مرحله با محلولهای روکش C1 و C2 (فرمولاسیونهای F5، F'5، F6 و F'6، F'5 و F'6) گردید. توجه به این نکته ضروری است روکش داده شدند. توجه به این نکته ضروری است که F و F' به ترتیب نمایانگر مرحله اول، دوم و سوم روکش دهی می باشد.

### روکش دهی هسته ها

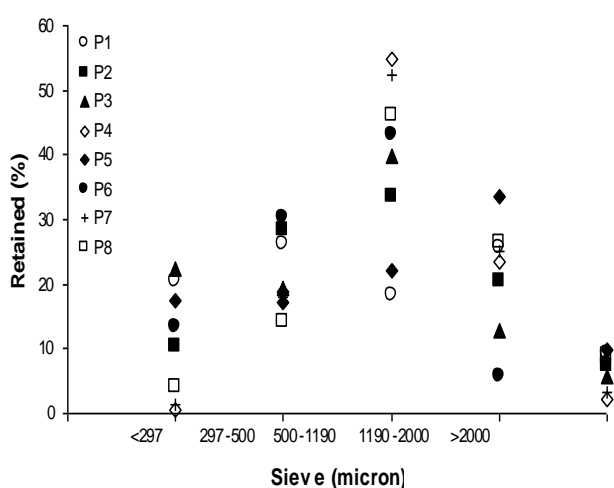
در این مرحله از اودرایزیت های RS (محلول C1) و RL (محلول C2) هر یک به میزان 10% به عنوان پلیمر روکش دهنده، DEP (1%) به عنوان پلاستی سایزر و الکل 96° به عنوان حامل روکش دهی استفاده گردید. قبل از شروع فرآیند، هسته ها تا دمای 30°C گرم شده (11 و 12) و سپس محلول روکش بر روی بستر ذرات در حال حرکت در داخل دیگ روکش دهی (مدل UG Erweka، ساخت آلمان) اسپری گردید. سرعت چرخش دیگ 10rpm و زاویه آن نسبت به افق 40-45° درنظر گرفته شد. در فواصل به کارگیری محلول روکش، از هوای گرم جهت تبخیر حلal استفاده شد. بخشی از هسته های

جدول 1- نوع و درصد اجزاء هسته های تهیه شده بروش گرانولاسیون مرطوب و پلت و خواص فیزیکی آنها

خصوصیات هسته های اولیه		اجزای مورد استفاده (w/w %)							فرمولاسیونهای گرانولاسیون مرطوب
درصد فرسایش	زاویه سکون (درجه) $X \pm SD (n = 3)$	نشاسته ذرت	آکاسیا	PVP	لاکتوز	آویسل PH 101	تئوفیلین		
10/50	37/67 ± 2/08	-	-	6/02	-	-	93/98	WG1	
23/90	38/00 ± 1/00	-	-	5/84	42/37	-	51/79	WG2	
21/90	35/67 ± 2/08	-	-	6/37	-	42/13	51/50	WG3	
23/35	38/33 ± 1/53	-	13/19	-	-	-	86/81	WG4	
13/30	37/00 ± 2/00	-	12/28	-	-	39/47	48/25	WG5	
20/85	39/33 ± 0/58	6/19	-	-	-	42/21	51/60	WG6	
درصد فرسایش	زاویه سکون (درجه) $X \pm SD (n = 3)$	پلی سوربات 80	HPMC	ساکاروز	PVP	دی کلسیم فسفات	آویسل PH 101	تئوفیلین	فرمولاسیونهای پلت
23/60	36/67 ± 2/52	-	-	-	13/04	-	-	86/96	P1
25/10	35/33 ± 1/53	-	-	20/00	-	-	-	80/00	P2
17/65	35/33 ± 1/53	-	-	10/00	10/00	-	-	80/00	P3
24/00	38/00 ± 2/65	-	-	10/53	10/53	-	-	78/94	P4
66/10	32/67 ± 0/58	0/10	-	-	-	-	19/98	79/92	P5
27/80	33/67 ± 2/52	0/10	-	-	-	-	39/96	59/94	P6
10/00	38/00 ± 2/00	0/10	2/00	-	-	-	39/16	58/74	P7
12/50	34/67 ± 1/53	-	-	-	5/00	50/00	-	45/00	P8

## نتایج

خصوصیات فیزیکی هسته های تهیه شده به روش گرانولاسیون مرطوب و پلت گرانولاسیون مرطوب: قسمت اول جدول ۱، نوع و درصد اجزاء مورد استفاده و همچنین داده های حاصل از تعیین خصوصیات فیزیکی هسته های تهیه شده بروش گرانولاسیون مرطوب را نشان می دهد. لازم به ذکر است که از ارائه نتایج مربوط به نمونه هایی که منجر به تشکیل هسته نگردید، صرف نظر می شود. از آنجا که پیش بینی می شود ذرات دارای فرسایشی بیش از ۲۰٪ در حین فرآیند روکش دهی خرد WG6، WG4 و WG3، WG2 و WG1 شوند، لذا نمونه های WG5، WG6 و WG7، فرمولاسیون گرانول های سری WG1 به دلیل دارا بودن درصد فرسایش کمتر، عدم استفاده از پر کننده و بکار گیری چسباننده کمتر، جهت روکش دهی انتخاب شد.



نمودار ۱- توزیع اندازه ذرات پلتهای تئوفیلین تهیه شده در شرایط مختلف

## بررسی خصوصیات پلتهای تهیه شده

تعیین مقدار داروی موجود در پلتها: ۱۰۰ mg از هر سری فرمولاسیون پس از خرد شدن، در بافر فسفات با pH=۳ حل و میزان جذب UV ماده مؤثره در طول موج ۲۷۱/۵ nm با استفاده از طیف سنج مادون قرمز (Perkin Elmer, 843) شد. سپس غلظت دارو با استفاده از معادله استاندارد محاسبه گردید.

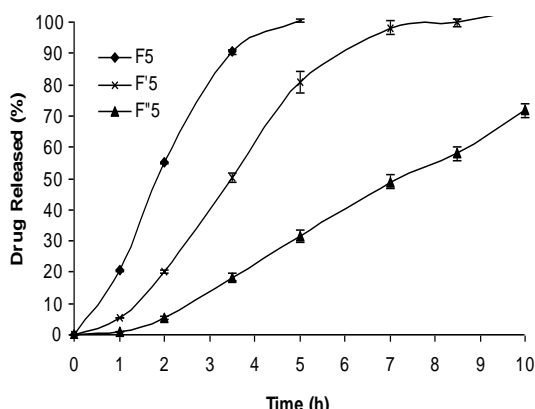
مطالعات روند آزادسازی دارو: مطابق آزمون ۵ تک نگار تئوفیلین در فارماکوپه آمریکا (۱۳) محیط انحلال در ۳/۵ ساعت اول ۹۰۰ml بافر فسفات (pH=۳) حاوی ۰/۰۲٪ پلی سوربات ۲۰ (جهت بهبود ترشدن و پراکندگی ذرات) (۱۴) است که پس از ۵/۳M گذشت این مدت زمان با افزودن ۲۸ml ۲۸M pH محیط به ۷/۴ رسیده و آزمایش انحلال در محیط اخیر ادامه می یابد.

دستگاه مورد استفاده، USP II از نوع پارو (Paddle) (مدل Erweka, DT6R) ساخت آلمان) بوده، سرعت چرخش آن ۵۰rpm و دمای محیط انحلال  $37 \pm 0/5^{\circ}\text{C}$  می باشد.

مقادیری از هر نمونه پلت معادل ۱۰۰ mg تئوفیلین جهت انجام آزمایش مورد استفاده قرار گرفت و نمونه های برداشته در زمانهای مختلف به مدت ۱۵ دقیقه با سرعت ۳۰۰۰rpm سانتریفیوژ شدند.

میزان جذب ماورای بنفس محلول شفاف رویی پس از عبور از صافی شیشه ای توسط طیف سنج UV در ۲۷۱/۵nm برای دو محیط مختلف با pH=۳ و pH=۷/۴ تعیین و غلظت نمونه ها محاسبه گردید. این آزمایش برای هر سری نمونه سه بار تکرار شد.

که به سبب امکان ایجاد منفذ و تسريع آزاد سازی دارو (16)، حداقل مقدار آن به کار گرفته شده است.



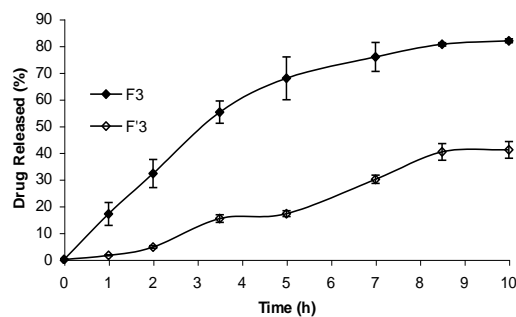
نمودار 3- آزادسازی تئوفیلین از پلتهاي تهييه شده با هسته P8 و محلول روکش (n=3) C1

با توجه به نمودار 1، درصد پلتهاي با اندازه حدود 500-1200 $\mu$ m در فرمولاتسيونهاي P3 و P4 که حاوي دو ماده چسباننده هستند نسبت به P2 و P1 بيشتر است. هم چنین با بالارفتن ميزان آويسل PH 101 در پلت هاي P6 در مقايسه با P5 و با استفاده از HPMC در فرمولاتسيون P7 نسبت به P5 و P6 اين درصد افزایش مي يابد. در عين حال که كليه هسته هاي تهييه شده از ظاهر کروي تر و ريزش قابل قبولی برخوردارند ولی بر اساس جدول 2 فرمولاتسيون هاي سري P1، P2، P4، P5 و P6 به علت فرسايش بيش از 20% جهت روکش دهي مناسب تشخيص داده نشدند.

نمودارهای آزاد سازی تئوفیلین از پلت هاي تهييه شده با هسته هاي P3 و محلول روکش C1 هسته هاي P8 با محلول روکش C1 و همچنین نمودار آزاد سازی تئوفیلین از سه نوع مخلوط تهييه شده از پلتها، سري F5 به ترتيب در نمودارهای 2 تا 4 آورده شده است.

بنظر مي رسد که استفاده از PVP به عنوان چسباننده، در تشکيل گرانولهای با استحکام بیشتر، مؤثرتر از آکاسیا و نشاسته ذرت می باشد. هسته هاي تهييه شده به صورت پلت: قسمت دوم جدول 1، نوع و درصد اجزاء هسته هاي تهييه شده به صورت پلت و نتایج تعیین خواص فيزيکي آنها را نشان مي دهد.

همچنین نمودار توزيع اندازه ذرات پلت هاي تهييه شده در شکل 1 قابل مشاهده است. لازم به ذكر است که در نمونه P1 از محلول مائي %10 PVP (w/v) و در نمونه P4 از محلول فوق به همراه محلول مائي %10 (w/v) ساکاراز بعنوان چسباننده استفاده گردید. در سري P2، P3 و P8 مواد چسباننده به صورت خشک به مخلوط پودر اضافه شدند.



نمودار 2- آزادسازی تئوفیلین از پلتهاي تهييه شده با هسته P3 و محلول روکش (n=3) C1

با توجه به مطالعات قبلی، استفاده از آب به عنوان مایع گرانول کننده سبب تشکيل پلتهاي با استحکام بيشتر مي شود (9)، لذا در نمونه هاي P2، P3 و P5 تا P8 از آب به عنوان مایع گرانولاتسيون استفاده گردید.

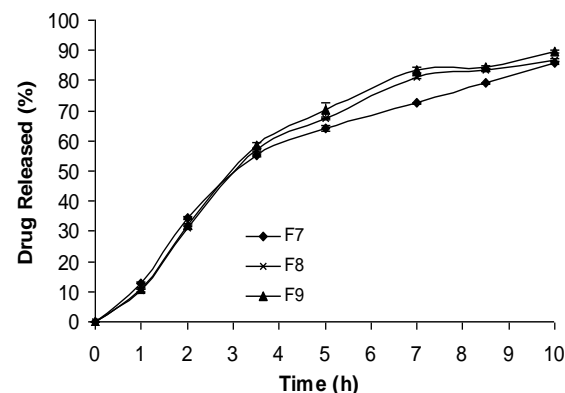
به کارگيري پلي سوربات 80 در نمونه هاي P5 تا P7 به دليل ممانعت از چسبیدن پودر به جدار دستگاه مي باشد. استفاده از HPMC در نمونه P7 به منظور کمک به چسبیدن ذرات و تشکيل پلت مي باشد (15).

داروی آزادشده در ساعت اول به ترتیب معادل 79/89 و 87/23 می باشد. واضح است که نه تنها درصد بالایی از دارو در ساعت اول آزاد شده، بلکه افزایش ضخامت روکش، تأثیری در آهسته کردن سرعت آزادسازی نداشته است که احتمالاً بدلیل عدم یکنواختی فرآیند روکش دهی می باشد. در مورد فرمولاسیون های F2 و F3 نیز نتایج مشابهی بدست آمد.

نمودار آزادسازی دارو از نمونه های F3 و F4 در شکل 2 نشان داده شده است. همانگونه که ملاحظه میشود، افزایش ضخامت روکش پلیمری، در کاهش میزان آزادسازی دارو در طول زمان، به نحو چشمگیری مؤثر بوده است. همچنین روند آزادسازی از فرمولاسیون F3، با الگوی مندرج در فارماکوپه مطابقت دارد. با وجود این، بدلیل چسبندگی پلتها به جدار دیگ و عدم ریزش مناسب آنها، روکش دهی بطور یکنواخت صورت نگرفته است. از طرفی نتایج تعیین مقدار داروی این فرمولاسیونها، انحراف معیار بالایی را نشان می دهد.

به سبب مشکلات موجود در حین تهیه نمونه F4 نظیر آگلومراسیون شدید، از انجام مطالعات آزادسازی مربوط به این نمونه، صرفنظر گردید.

روند انحلال ماده مؤثره از فرمولاسیونهای F5، F6 و F7 در شکل 3 آمده است. این دسته از فرمولاسیونها، مشکلاتی را به هنگام تهیه، به همراه نداشته و روکش دهی بصورت یکنواخت تری صورت گرفت. انحراف معیار پایین در آزمایش تعیین مقدار و آزادسازی دارو، مؤید این مطلب است. با اینحال الگوی رهش دارو از آنها، با الگوی مندرج در فارماکوپه امریکا مطابقت ندارد. همچنین بر اساس نتایج بدست آمده، میزان آزادسازی دارو از نمونه های F6 و F7 در ساعت اول به ترتیب برابر با 81/00 و 86/16 درصد می باشد که نشانگر



نمودار 4- آزادسازی تșوفیلین از سه نوع مخلوط تهیه شده از پلتهاي سري (n=3) F5

## بحث

بنظر مي رسد که استفاده از آب قادر مواد چسباننده، جهت تشکيل پلتهاي مستحکم کافي نبوده و در عين حال، حضور توأم ماده پرکننده و چسباننده، منجر به تهیه پلتهايی با ویژگيهای فيزيکي مناسبتر مي گردد. تعیین مقدار داروی موجود در پلتها: نتایج حاصل از این آزمایش نشان داد که مقدار داروی موجود در نمونه های F5, F4, F3, F2, F1, F1, F6, F6, F7, F7, F8, F8, F9, F9 بترتیب 65, 68, 77, 79, 40, 43, 32, 36, 40, 47, 67, 81 درصد می باشد. اختلاف محتوای داروی پلتها در مراحل مختلف روکش دهی، نشان دهنده افزایش ضخامت فیلم پلیمری و یکنواختی فرآیند روکش دهی است.

بررسی روند و الگوی آزادسازی دارو از پلتها: براساس الگوی آزادسازی از کپسولهای تșوفیلین با رهش طولاني در فارماکوپه امریکا، مقدار داروی آزاد شده در ساعت اول 10-30٪، پس از 3/5 ساعت 50-80٪، پس از 5 ساعت معادل 60-60٪، پس از 7 ساعت بیش از 65٪ و پس از 10 ساعت بیش از 80٪ می باشد. بررسی آزادسازی دارو از فرمولاسیونهای F1 و F2 نشان میدهد که درصد

غالب در مدت زمان ۱۰-۱۵/۳ ساعت در فرمولاسیونهای F8 و F9، کینتیک درجه یک می باشد.

جدول ۲- ضرایب همبستگی ( $r^2$ ) الگوهای آزادسازی درجه صفر، درجه یک و مدل هیگوشی پلتهای سری ۵ و فرمولاسیونهای حاصل از اختلاط آنها

ضرایب همبستگی ( $r^2$ )			محدوده زمانی (h)	فرمولاسیون
مدل	کینتیک	کینتیک		
هیگوشی	درجه یک	درجه صفر		
0/9687	0/9800	0/9229	1-5	F5
0/9586	0/9702	0/9028	1-10	F'5
0/9728	0/9686	0/9972	1-10	F"5
0/9569	0/9842	0/8886	1-10	F7
0/9979	0/9797	0/9972	3/5-10	
0/9530	0/9822	0/8799	1-10	F8
0/9591	0/9733	0/9296	3/5-10	
0/9528	0/9848	0/8802	1-10	F9
0/9546	0/9705	0/9243	3/5-10	

### نتیجه گیری

بر اساس نتایج حاصل از این تحقیق، استفاده از روکش دهی در دیگ دور (Pan Coating) (Pan Coating) روشی مؤثر در ساخت پلتهای آهسته رهش تؤوفیلین بوده و اختلاط نسبتهاي گوناگون پلتهای تهیه شده از پلتهای حاوی PVP و دی کلسیم فسفات با ضخامتهاي متفاوت از روکش اودراثیت ۱۰۰ RS، منجر به دستیابی به الگوی آزاد سازی دارو دقیقاً "مطابق با فارماکوپه امریکا می شود.

عدم تأثیر اودراثیت ۱۰۰ RL در کند کردن رهش دارو به میزان مطلوب است. این مسئله بدلیل قابلیت تورم بالا و نفوذ پذیری زیاد این پلیمر نسبت به آب قابل توجیه می باشد.

با توجه به شکل ۳، با افزایش ضخامت روکش پلیمری، سرعت آزادسازی دارو از پلتهای سری ۵ کاهش یافته، و علی رغم آنکه الگوی رهش دارو از هیچیک از فرمولاسیونها به تنهايی، با الگوی مندرج در فارماکوپه مطابقت ندارد، معذالت تصور گردید که استفاده از مخلوطی از پلتهای این دسته، میتواند منجر به آزادسازی با روند دلخواه گردد. بدین منظور فرمولاسیون های F7، F8 و F9 به ترتیب ذیل تهیه شدند:

F7 متشکل از ۵۰٪ F5 و ۵۰٪ F5  
F8 متشکل از ۴۰٪ F5 و ۶۰٪ F5  
F9 متشکل از ۳۰٪ F5 و ۷۰٪ F5

شکل ۴، روند انحلال فرمولاسیون های فوق را نشان می دهد. براساس نتایج بدست آمده، روند آزادسازی دارو از فرمولاسیونهای حاصل از اختلاط پلتهای سری ۵، F7 و F8، همگی منطبق بر الگوی آزادسازی فارماکوپه می باشد.

در ادامه، کینتیک آزادسازی مربوط به پلتهای سری ۵، هر یک به تنهايی و فرمولاسیونهای حاصل از اختلاط آنها بررسی گردید. ضرایب همبستگی بر اساس الگوهای درجه صفر، درجه یک و هیگوشی این فرمولاسیونها در جدول ۲ آمده است.

مطابق نتایج حاصل، آزادسازی دارو از فرمولاسیون F"5 از کینتیک درجه صفر و از سایر نمونه ها از کینتیک درجه یک پیروی می کند. از طرفی الگوی

**References:**

- 1- Rall T. W. in Goodman & Gilman's The Pharmacological Basis of Therapeutics, Gilman A. G., Rall T. W., Nies A. S. Taylor P. Eds., Maxwell Macmillan International Editions, Singapore, 8<sup>th</sup> ed., 1991, 618-637.
- 2- British Medical Association and Royal Pharmaceutical Society of Great Britain, British National Formulary, Pharmaceutical Press, Oxon, March 2001, No. 41, 140.
- 3- Benita S., Downbrow M. Release kinetics of sparingly soluble drugs from ethylcellulose walled theophylline microcapsules, Journal of Pharmacy and Pharmacology, 1982, 34: 77-82.
- 4- Lin S. Y., Effect of excipients on tablet properties and dissolution behavior of theophylline tableted microcapsules under different compression forces, Journal of Pharmaceutical Sciences, 1987, 77: 643-646.
- 5- Chang R. K., Hsiao C. Eudragit RL and RS pseudolatices; properties and performance in pharmaceutical coatings as a controlled release membrane for theophylline pellets, Drug-Dev.-Ind.-Pharmacy, 1989, 15: 187-196.
- 6- Chattaraj S. C., Das S. K., Karthikeyan M., Ghosal S. K., Gupta B. K., Controlled theophylline release from microcapsule of acrylic and metacrylic acid ester copolymer, Drug Development and Industrial Pharmacy, 1991, 17: 551-560.
- 7- Lachman L., Lieberman H. A., Kanig J. L., The Theory and Practice of Industrial Pharmacy, Lea & Febiger, Philadelphia, 3<sup>rd</sup> ed., 1986, 426.
- 8- Yokoyama T. in Powder Technology Handbook, Gotoh K., Masuda H., Higashitani K. Eds., Marcel Dekker Inc., New York, 2<sup>nd</sup> ed., 1997, 414-417.
- 9- Millili G. P., Schwartz J. B. The strength of microcrystalline cellulose pellets: the effect of granulating with water/ethanol mixtures, Drug-Dev.-Ind.-Pharmacy, 1990, 16:1411-1426.
- 10- Sienkiewicz G., Pereira R., Rudnic E. M., Lausier J. M., Rhodes C. T. Spherization of theophylline – avicel combinations using a fluidized bed rotogravitation technique, Drug-Dev.-Ind.-Pharmacy, 1997, 23: 173-182.
- 11- Fuchs H. K., BÖssler H. M. RÖhm Pharma Polymers, Basic Information, 1997.
- 12- Schmidt P. C., Niemann F. The minwid coater; I: design and evaluation of a temperature controlled miniature fluid bed pan coater, Drug-Dev.-Ind.-Pharmacy, 1992, 18: 1907-1919.
- 13- The United States Pharmacopeia XXIII and National Formulary XVIII, US

Pharmacopeial Convention Inc., Rockville, 1995, 1521-1524, 1795-1796.

14- Kawashima Y., Niwa T., Handa T., Takeuchi H., Iwamoto T., Itoh Y. Preparation of a prolong release spherical micro matrix of ibuprofen with acrylic polymer by the emulsion solvent diffusion method for improving bioavailability, Chemical Pharmaceutical Bulletin, 1989, 37: 425-429.

15- Boylan J. C., Cooper J., Chowhan Z. T. Handbook of Pharmaceutical Excipients, American Pharmaceutical Assiciation, Washington DC, 1986.

16- Oshlack B., Chasin M., Pedi J. F. Controlled release formulations coated with aqueous dispersions of ethylcellulose, US Patent 5472712, 1995.